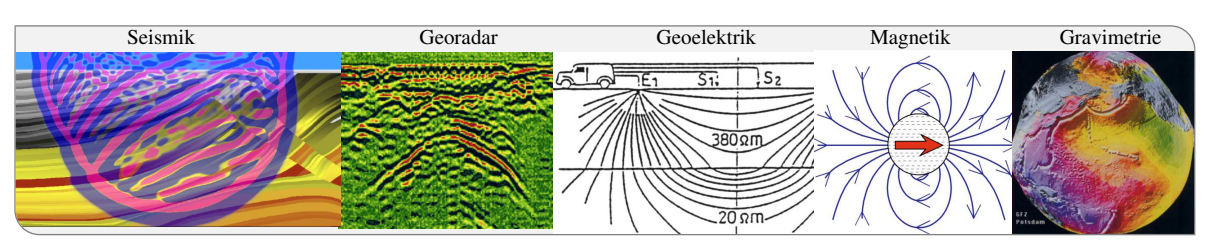


Einführung in die Geophysik I

Reflexionsseismik

Thomas Bohlen, Ellen Gottschämmer, Geophysikalisches Institut, Fakultät für Physik







(20.10, 27.10)

(17.11, 24.11)

(08.12, 15.12)

(12.01, 19.01)

(26.01, 02.02)

(20.10)

(03.11)

(10.11)

(01.12)

minanto doi	voriodarig	0000	110 2020/21

Einführung

Seismische Wellenausbreitung

8 Refraktionsseismik

4 Reflexionsseismik

Elektromagnetische Verfahren

Geoelektrik

Gravimetrie

Magnetik

weitere Themen



- Einführung
- Signalamplituden
- CMP-Datenbearbeitung
 - Sortierung
 - Laufzeitkurven
 - Herleitung der Dix-Formel
 - Geschwindigkeitsanalyse
 - Laufzeitkorrektur und Stapelung
 - Beispiel
- Zusammenfassung





- Einführung
- Signalamplituden
- CMP-Datenbearbeitung
 - Sortierung
 - Laufzeitkurven
 - Herleitung der Dix-Formel
 - Geschwindigkeitsanalyse
 - Laufzeitkorrektur und Stapelung
 - Beispiel
- Zusammenfassung



Ziele der Reflexionsseismik



Wellenausbreitungseffekte sind u.a.

- Reflexion
- Refraktion

Ziele der Reflexionsseismik

- Abbildung von geologischen Grenzflächen: "Migration"
- 2 Rekonstruktion der Ausbreitungsgeschwindigkeit: "Inversion/Tomographie"

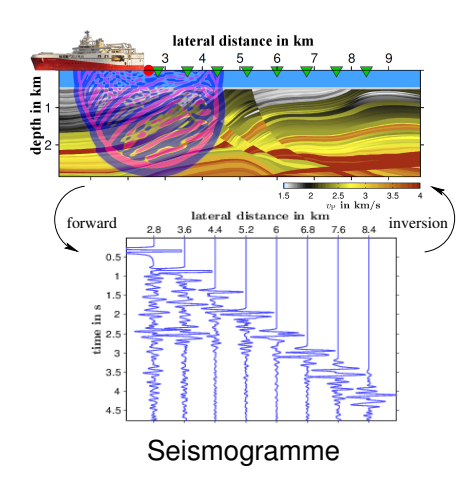
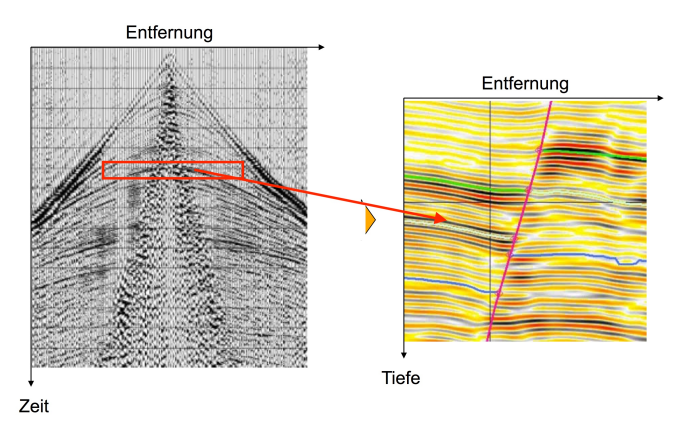




Abbildung Reflexionsseismik





Migration: Bewegung (lat. "migrare") des aufgezeichneten Signals an den Reflexionspunkt.







Vorteile

- gute vertikale und laterale Auflösung
- gute Tiefeneindringung
- geringe Mehrdeutigkeiten

Nachteile

- großer Aufwand bei der Akquisition (zahlreiche Quellen und Empfänger)
- große Datenmengen (Peta-Bytes)
- Zeit und Erfahrung bei der Datenbearbeitung und Interpretation
- ggf. hohe Rechenleistung



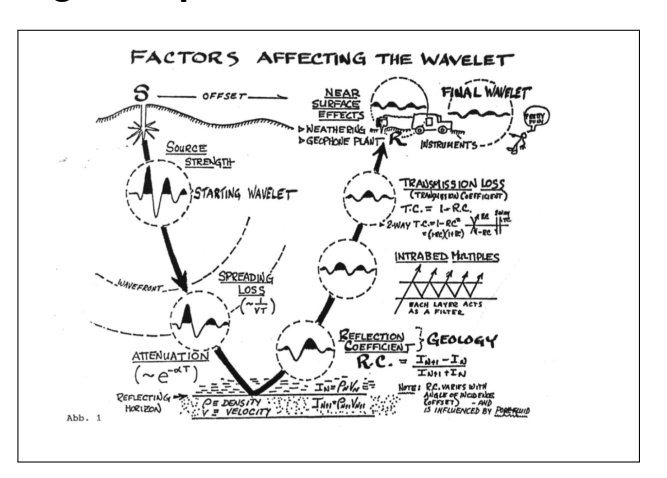


- Einführung
- Signalamplituden
- CMP-Datenbearbeitung
 - Sortierung
 - Laufzeitkurven
 - Herleitung der Dix-Formel
 - Geschwindigkeitsanalyse
 - Laufzeitkorrektur und Stapelung
 - Beispiel
- Zusammenfassung



Signalamplituden reflektierter Wellen



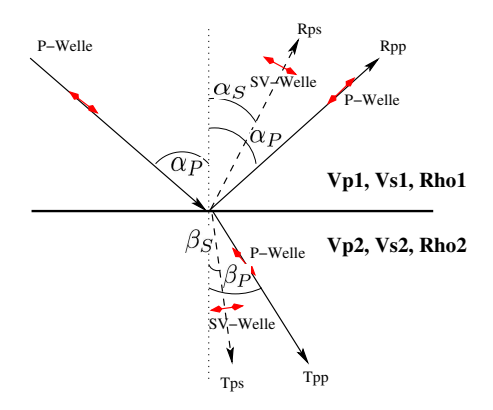


- Abstrahlung (Quelle)
- Geometrischer Ausbreitungsverlust
- Dämpfung
- Reflexion und Transmission
- Interferenzen
- Aufzeichnung (Empfänger)



Reflexions- und Transmissionskoeffizienten

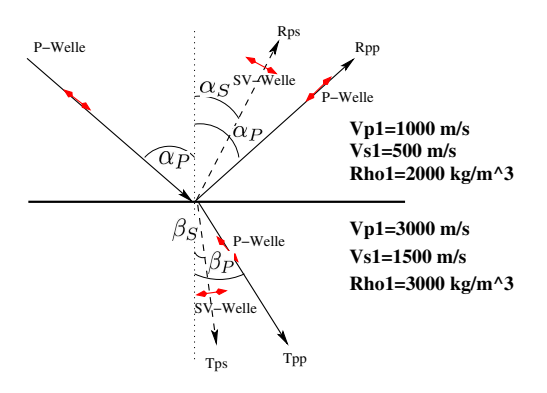




- Reflexionskoeffizient: $R_{pp} = \frac{\text{einfallende Amplitude}}{\text{reflektierte Amplitude}}$
- Der Reflexionskoeffizient hängt stark vom Einfallswinkel ab
- Spezialfall $R_{pp}(\alpha_p=0)=rac{\varrho_2 V p_2-\varrho_1 V p_1}{\varrho_2 V p_2+\varrho_1 V p_1}=$
- $I_i = \rho_i V p_i$: Impedanz der Schicht i

Beispiel für Reflexions- und Transmissionskoeffizienten



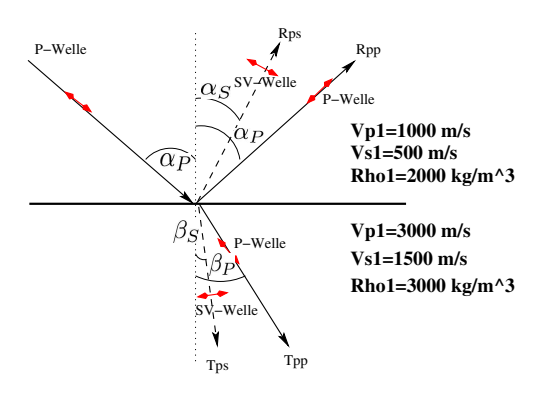


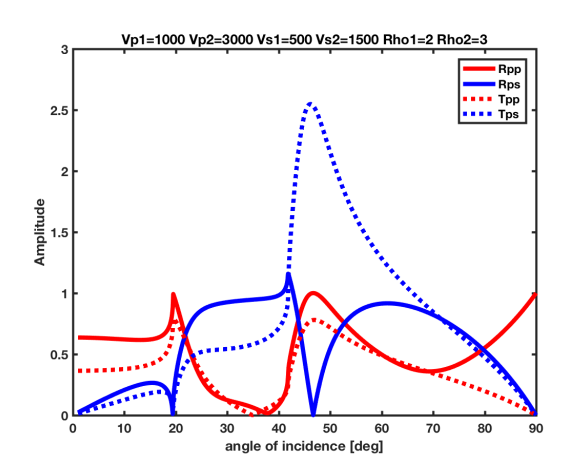
- $R_{DD}(\alpha_D = 0) = 0.64$
- $\alpha_p^* = \arcsin(Vp_1/Vp_2) = 19^\circ$



Beispiel für Reflexions- und Transmissionskoeffizienten







- $R_{pp}(\alpha_p = 0) = 0.64$
- $\alpha_p^* = \arcsin(Vp_1/Vp_2) = 19^\circ$





- Einführung
- Signalamplituden
- CMP-Datenbearbeitung
 - Sortierung
 - Laufzeitkurven
 - Herleitung der Dix-Formel
 - Geschwindigkeitsanalyse
 - Laufzeitkorrektur und Stapelung
 - Beispiel
- Zusammenfassung



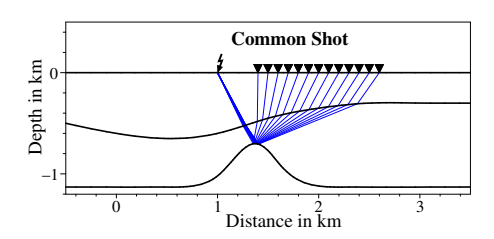


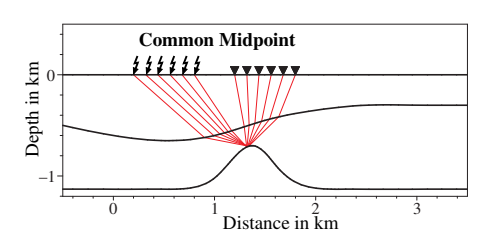
- Einführung
- Signalamplituden
- CMP-Datenbearbeitung
 - Sortierung
 - Laufzeitkurven
 - Herleitung der Dix-Formel
 - Geschwindigkeitsanalyse
 - Laufzeitkorrektur und Stapelung
 - Beispiel
- Zusammenfassung



Sortierung nach gemeinsamen Mittelpunkten (CMP)







- Messgeometrie: Common Shot
- Umsortierung in CMP-Geometrie (CMP=Common Mid Point): CMP=Mittelpunkt zwischen Quellpunkt und Empfänger
- Seismogramme einer CMP-Sektion beleuchten ähnliche Reflexionspunkte



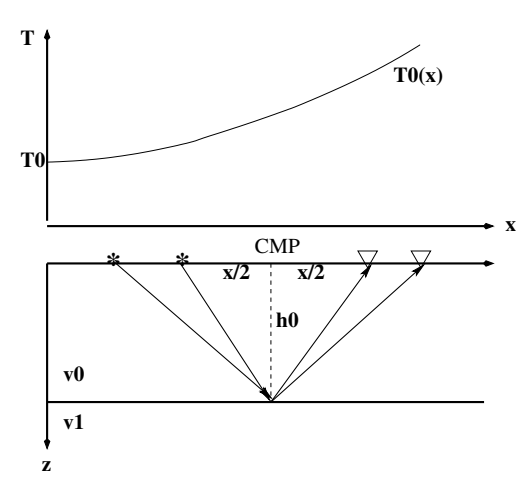


- Einführung
- Signalamplituden
- CMP-Datenbearbeitung
 - Sortierung
 - Laufzeitkurven
 - Herleitung der Dix-Formel
 - Geschwindigkeitsanalyse
 - Laufzeitkorrektur und Stapelung
 - Beispiel
- Zusammenfassung









Laufzeitgleichung (exakt):

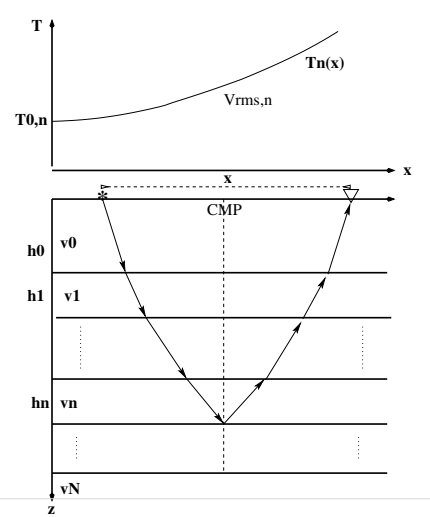
$$T_0^2(x) = \frac{x^2}{v_0^2} + T_{0,0}^2$$

Laufzeit des Lotstrahls:

$$T_{0,0} = \frac{2h_0}{v_0}$$

Laufzeitkurve CMP-Sektion - söhliger Mehrschichtfall





Ansatz:

$$\frac{T_n^2(x)}{T_n^2(x)} = \frac{x^2}{v_{ms,n}^2} + T_{0,n}^2 (n = 0, ..., N)$$

Dix'sche Formel:

$$v_{rms,n}^2 = rac{\sum\limits_{i=0}^n v_i^2 extstyle t_i}{\sum\limits_{i=0}^n extstyle t_i}$$
: "RMS-Geschwindigkeit"

Laufzeit des Lotstrahls:

$$T_{0,n} = \sum_{i=0}^{n} \triangle t_i$$

Lotzeiten:

$$\triangle t_i = \frac{2h_i}{v_i}$$

Intervallgeschwindigkeiten: vi





- Einführung
- Signalamplituden
- CMP-Datenbearbeitung
 - Sortierung
 - Laufzeitkurven
 - Herleitung der Dix-Formel
 - Geschwindigkeitsanalyse
 - Laufzeitkorrektur und Stapelung
 - Beispiel
- Zusammenfassung



Herleitung Dix-Formel



Wir machen den Ansatz für die Laufzeitkurve der n-ten Reflexion

$$T_n(x) = \sqrt{T_{0,n}^2 + \frac{x^2}{\tilde{v}_n^2}}, \qquad \tilde{v}_n^2 := v_{rms,n}^2$$

Dies ist der erste Term einer Taylorentwicklung und gilt daher nur für hinreichend kleine x. Für den Strahlparameter gilt nach dem Brechungsgesetz von Snellius

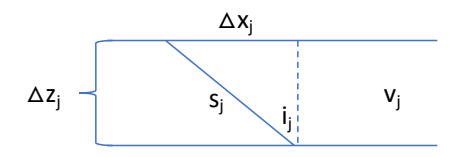
$$p_n = \frac{\partial T_n}{\partial x} = \frac{x}{T_n \tilde{v}_n^2} = \frac{\sin(i_j)}{v_j} = const$$



Herleitung Dix-Formel



Wir betrachten ein Strahlsegment in der Schicht j



Für den Offset x können wir schreiben:

$$x = 2\sum_{i=0}^{n} \triangle x_{j} = 2\sum_{i=0}^{n} \sin(i_{j})s_{j} = 2\sum_{i=0}^{n} \frac{\sin(i_{j})}{v_{j}}s_{j}v_{j} = \sum_{i=0}^{n} \frac{x}{T_{n}\tilde{v}_{n}^{2}}v_{j}^{2}\triangle t_{j}$$
(1)



Herleitung Dix-Formel



Wir kürzen *x* in Gleichung 1 und erhalten:

$$\tilde{v}_n^2 T_n = \sum_{i=0}^n v_j^2 \triangle t_j \quad \text{für alle} \quad x \tag{2}$$

Für x=0 gilt:

$$\tilde{v}_{n}^{2}T_{0,n} = \sum_{j=0}^{n} v_{j}^{2} \triangle t_{0,j}, \quad T_{0,n} = \sum_{j=0}^{n} \triangle t_{0,j} \quad \triangle t_{0,j}$$
:Lotzeiten (3)

Die Dix'sche Formel berücksichtigt die Brechung.



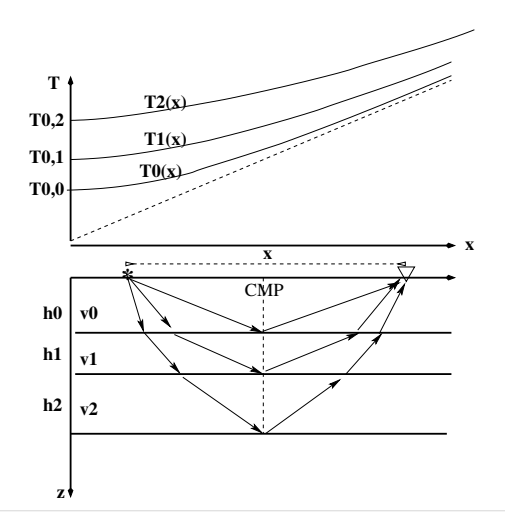


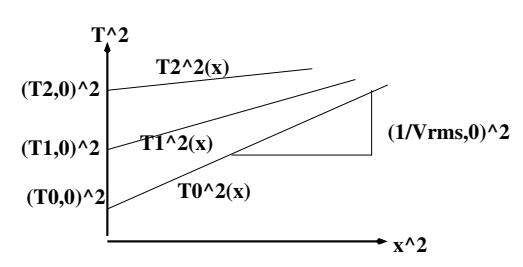
- Einführung
- Signalamplituden
- CMP-Datenbearbeitung
 - Sortierung
 - Laufzeitkurven
 - Herleitung der Dix-Formel
 - Geschwindigkeitsanalyse
 - Laufzeitkorrektur und Stapelung
 - Beispiel
- Zusammenfassung



Rekonstruktion der Schichtgeschwindigkeiten







Für jede Reflexion kann aus der Krümmung der Laufzeitkurve eine RMS-Geschwindigkeit v_{rms} abgeschätzt werden.





Rekonstruktion der Schichtgeschwindigkeiten

Die rekursive Anwendung der Dix'schen Formel erlaubt die Berechnung der Intervallgeschwindigkeiten v_i aus den beobachteten $v_{rms,n}$:

$$n = 0: v_0^2 = v_{rms,0}^2$$

$$n = 1: v_1^2 = \frac{1}{\triangle t_1} \left(v_{rms,1}^2 T_{0,1} - v_{rms,0}^2 T_{0,0} \right)$$
...
$$n: v_n^2 = \frac{1}{\triangle t_2} \left(v_{rms,n}^2 T_{0,n} - v_{rms,n-1}^2 T_{0,n-1} \right)$$

Diese Analyse wird für jede CMP-Sektion durchgeführt. Man erhält so ein ein Modell der Schichtgeschwindigkeiten (Intervallgeschwindigkeiten)



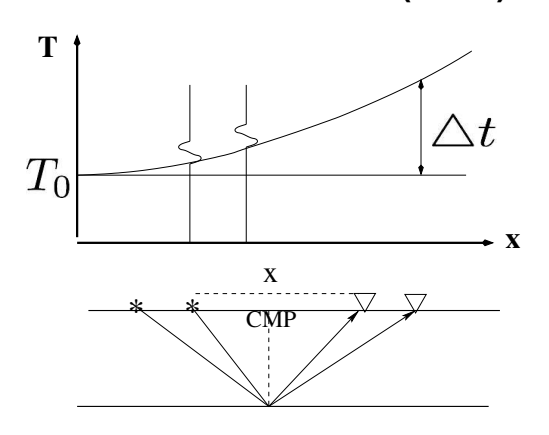


- Einführung
- Signalamplituden
- CMP-Datenbearbeitung
 - Sortierung
 - Laufzeitkurven
 - Herleitung der Dix-Formel
 - Geschwindigkeitsanalyse
 - Laufzeitkorrektur und Stapelung
 - Beispiel
- Zusammenfassung



Das Normal-Moveout (NMO)



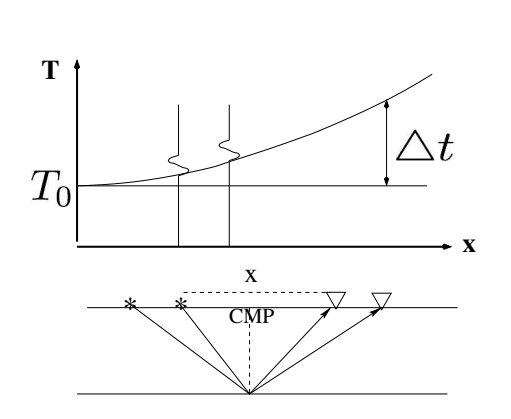


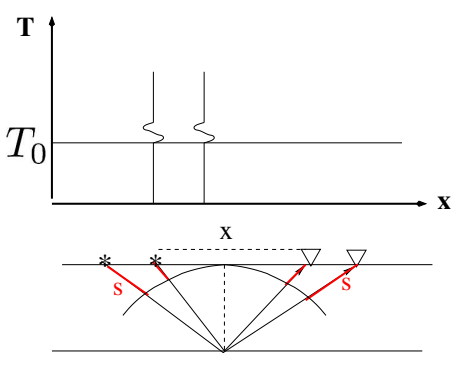
Das Normal-Moveout beschrieben durch

$$\triangle t(x) = T(x) - T_0 = \sqrt{\frac{x^2}{v_{mms}^2} + T_0^2} - T_0$$
 gibt die Abweichung der Laufzeit von der Laufzeit des Lotstrahls an.

Die Normal-Moveout Korrektur (NMO-Korrektur)





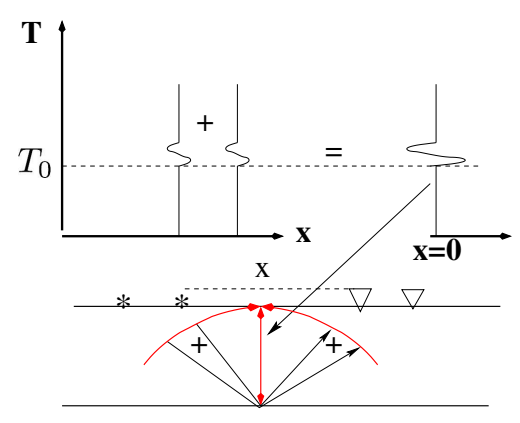


Die Normal-Moveout Korrektur korrigiert die Krümmung der Laufzeitkurve, so dass die Signale der Reflexion alle zur Laufzeit des Lotstrahls eintreffen.

4 - + 4 = + 9 9 C

Summation (Stapelung)



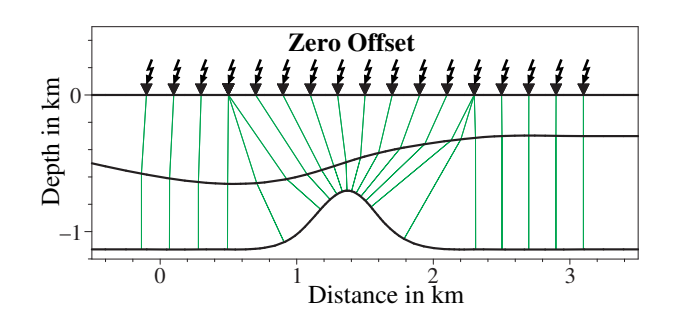


Die Stapelung summiert die reflektierten Signale auf den Lotstrahl (Zero-Offset-Strahl)



Zero-Offset-Sektion





- Ergebnis der Stapelung: **ZO-Sektion**
- Abbild für Lotstrahlen
- Verbesserung des Signal-Störverhältnisses durch Stapelung



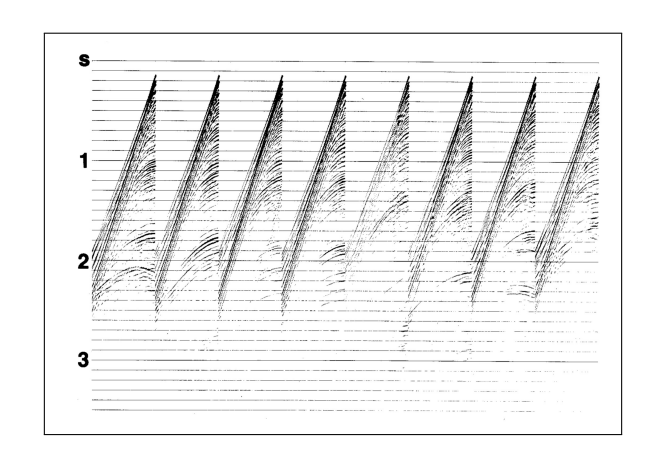


- Einführung
- Signalamplituden
- CMP-Datenbearbeitung
 - Sortierung
 - Laufzeitkurven
 - Herleitung der Dix-Formel
 - Geschwindigkeitsanalyse
 - Laufzeitkorrektur und Stapelung
 - Beispiel
- Zusammenfassung



Schuss-Sektionen eines marinen Streamers

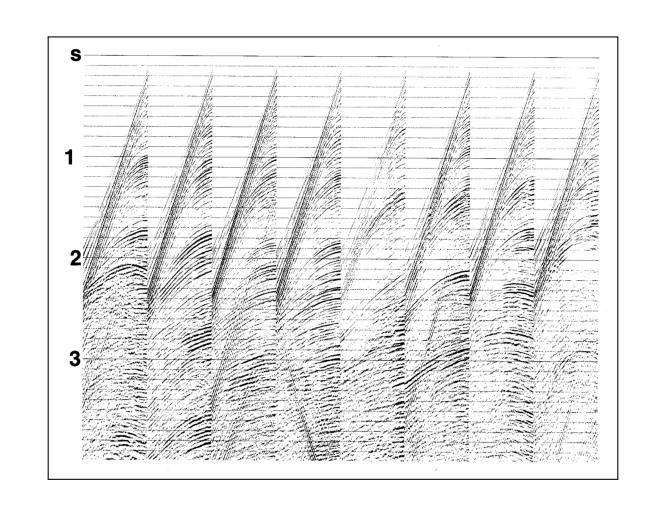






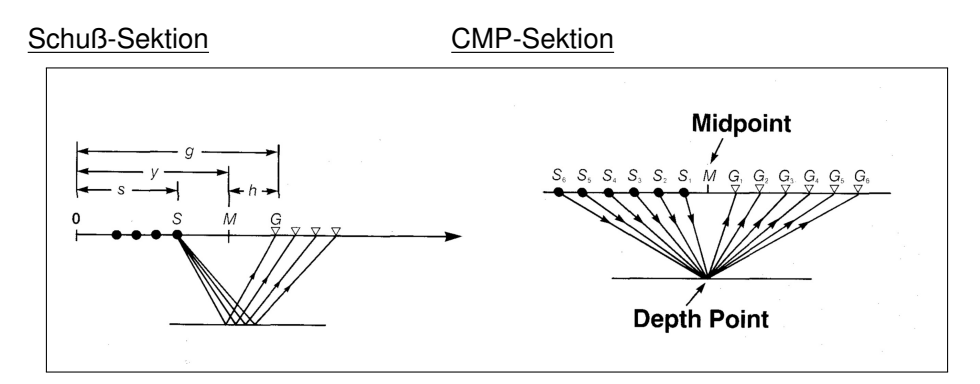
1. Amplitudenverstärkung





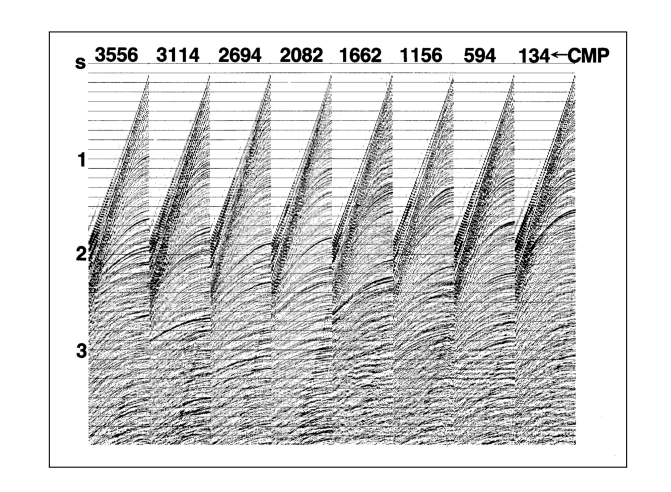
2. CMP-Sortierung





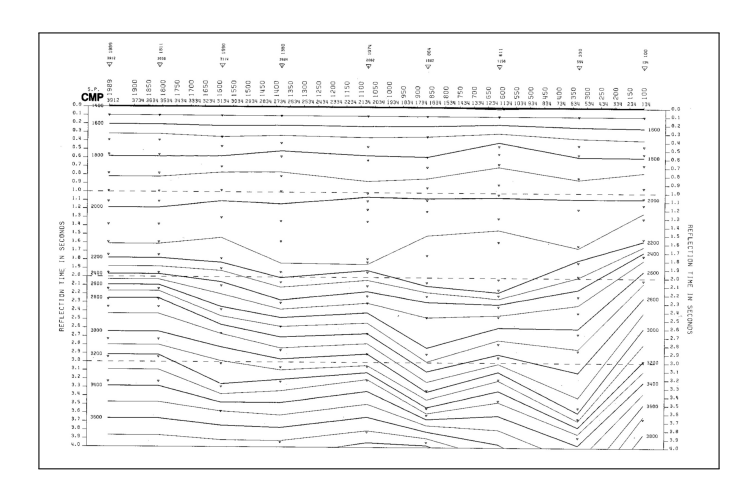
2. CMP-Sektionen





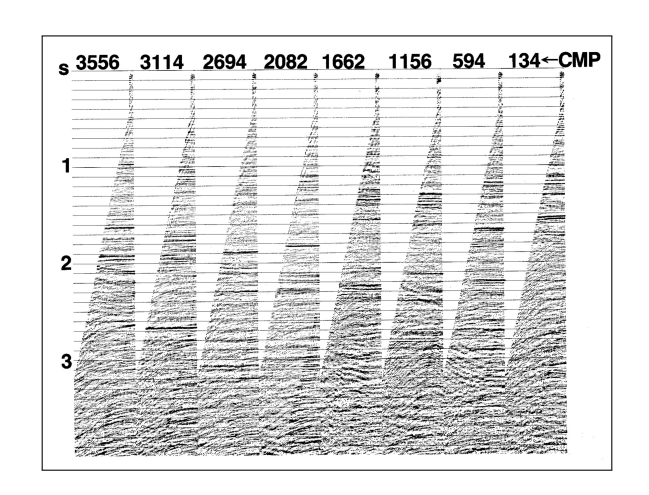






4. Hyperbolische Laufzeitkorrektur

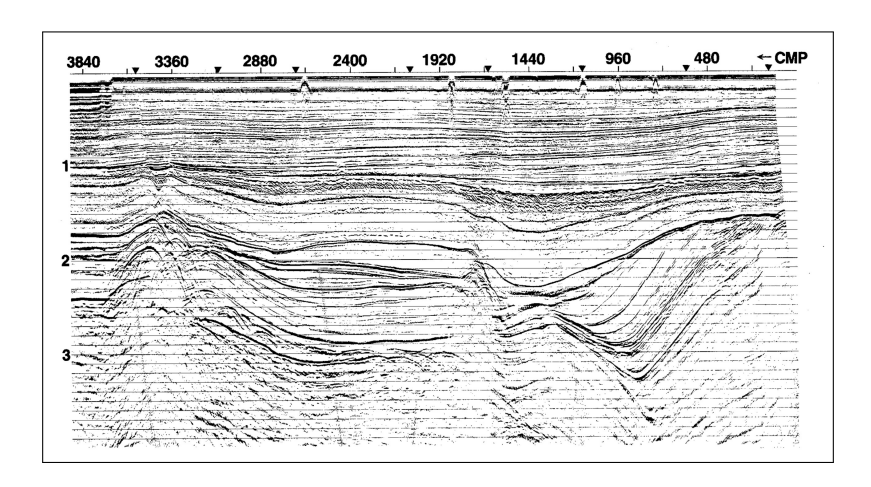




10.11.2021

5. Stapelung liefert ZO-Sektion







- Einführung
- Signalamplituden
- CMP-Datenbearbeitung
 - Sortierung
 - Laufzeitkurven
 - Herleitung der Dix-Formel
 - Geschwindigkeitsanalyse
 - Laufzeitkorrektur und Stapelung
 - Beispiel
- Zusammenfassung



Zusammenfassung



- Ziel der Reflexionsseismik ist die Abbildung von Diskontinuitäten sowie die Rekonstruktion der Ausbreitungsgeschwindigkeiten.
- Die Stärke des reflektierten Signals wird maßgeblich durch den Impedanzkontrast bestimmt.
- Das CMP-Verfahren macht die Annahme hyperbolischer Laufzeitkurven und liefert durch einfache Datenbearbeitungsschritte ein erstes Geschwindigkeitsmodell und Abbild der Diskontinuitäten:
 - CMP-Sortierung
 - Bestimmung RMS-Geschwindigkeiten v_{rms}, n
 - Umrechnung in Intervallgeschwindigkeiten v_i durch rekursive Anwendung der Dix'schen Formel
 - NMO-Korrektur und Stapelung approximiert ZO-Sektion
- lacksquare ightarrow Erstes Abbild der geologischen Diskontinuitäten







Vielen Dank für Ihre Aufmerksamkeit

Thomas.Bohlen@kit.edu

http://www.gpi.kit.edu/

Veröffentlicht unter © 00 Lizenz.



Referenzen



Yilmaz, Ö. (2001), Seismic Data Analysis: Processing, Inversion, and Interpretation of Seismic Data, Society of Exploration Geophysicists.

URL: https://doi.org/10.1190/1.9781560801580

